

PROVA ESCRITA ROSA

22/02/2024

INSTRUÇÕES

- 1. Este caderno deve conter 100 questões numeradas sequencialmente de 01 a 100.
- 2. Antes de começar a prova, verifique se:
 - a. este caderno está completo;
 - b. a Folha de Respostas está com seus dados corretos;
 - c. você está com todo o material que precisa para responder (caneta esferográfica preta);
 - d. você está com o documento de identificação acessível.

Caso tenha observado algum problema no caderno de prova e/ou na Folha de Respostas, notifique o fiscal da prova para que sejam tomadas as providências necessárias.

- 3. Leia atentamente o enunciado de cada questão antes de respondê-las.
- 4. Cada questão admite uma única alternativa correta.
- 5. Preencha cuidadosamente a Folha de Respostas anexada no início do caderno, utilizando caneta esferográfica preta. Ao fazê-lo:
 - a. tenha muita cautela, pois esta folha já está identificada com o seu nome e não será substituída:
 - b. use caneta esferográfica preta para o preenchimento dos círculos (O);
 - c. esteja ciente de que questões deixadas em branco ou assinaladas com mais de uma alternativa serão consideradas incorretas.
- 6. O tempo máximo de prova é de 3 horas e 30 minutos, incluindo o tempo para o preenchimento da Folha de Respostas.
- 7. O tempo mínimo de permanência na sala é de 2 horas.
- 8. Não é permitida a consulta a qualquer tipo de material nem o uso de quaisquer aparelhos eletrônicos, tais como calculadora, celular etc., bem como alimentar-se durante a prova.
- 9. Se tiver alguma dúvida durante a prova, fale apenas com o fiscal que está aplicando a prova na sua sala.
- 10. Os celulares deverão ter sido previamente acondicionados no envelope de segurança.
- 11. Quando terminar:
 - a. certifique-se de ter preenchido adequadamente a Folha de Respostas;
 - b. devolva o caderno de prova e a Folha de Respostas para o fiscal da prova.

Este caderno deve ser devolvido ao final da prova, junto com a Folha de Respostas.

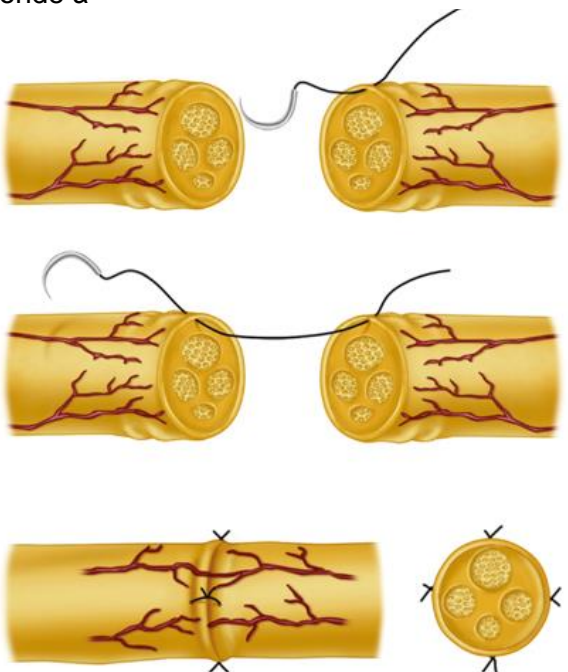
Boa Prova!

As questões ora apresentadas estão protegidas pela legislação pertinente ao direito autoral e direito de propriedade intelectual, sendo vedada sua reprodução por qualquer meio.





1. A técnica cirúrgica para reparo de nervo periférico demonstrada na figura a seguir corresponde à



Fonte: AZAR, F. M.; BEATY, J. H. **Campbell's operative orthopaedics**. 14. ed. Philadelphia: Elsevier, 2021.

- A) epineurorrafia.
- B) perineurorrafia.
- C) endoneurorrafia
- D) epiperineurorrafia.
- 2. A amplitude de movimento do cotovelo de flexão e extensão considerada funcional é de
- A) 30° a 130° e 50° de pronação e 50° de supinação.
- B) 45° a 145° e 40° de pronação e 60° de supinação.
- C) 30° a 130° e 40° de pronação e 60° de supinação.
- D) 45° a 145° e 50° de pronação e 50° de supinação.
- 3. A fratura do processo coronoide classificada por O'DRISCOLL como tipo II, subtipo III, acomete necessariamente
- A) a base do processo coronoide.
- B) a ponta do processo coronoide.
- C) a faceta anteromedial e o tubérculo sublime.
- D) a faceta anteromedial e a ponta do coronoide.



- 4. No tratamento da fratura do sacro com fixação percutânea utilizando parafuso iliossacral, a estrutura neurológica em risco é
- A) a raiz de L4.
- B) a raiz de L5.
- C) o nervo femoral.
- D) o nervo ciático.
- O quadro de SCIWORA corresponde a uma condição em que o paciente apresenta
- A) radiografia simples sem alterações e Frankel C.
- B) radiografia simples sem alterações e Frankel E.
- C) ressonância magnética sempre com alterações e Frankel C.
- D) ressonância magnética sempre com alterações e Frankel E.
- 6. Na artroscopia do quadril, o primeiro portal a ser realizado na técnica "de dentro para fora" (*inside-out*) é o
- A) anterior.
- B) anterolateral.
- C) posterolateral.
- D) anterior acessório.
- 7. Na luxação lateral rotatória da articulação interfalangeana proximal da mão, a estrutura anatômica que mais frequentemente impede a redução é
- A) a banda lateral.
- B) a banda espiral.
- C) o ligamento lateral.
- D) o côndilo falangeano.
- 8. Na lesão cervical alta, a regra de SPENCE é utilizada para avaliar lesão do ligamento
- A) alar na fratura de C1.
- B) alar na fratura de C2.
- C) transverso na fratura de C1.
- D) transverso na fratura de C2.



- 9. Os discos intervertebrais L4-L5 e L5-S1 contribuem para a lordose lombar em cerca de
- A) 32%.
- B) 43%.
- C) 55%.
- D) 67%.
- 10. A tuberculose osteoarticular no esqueleto apendicular acomete mais frequentemente
- A) ombro e cotovelo.
- B) punho e mão.
- C) quadril e joelho.
- D) tornozelo e pé.
- 11. A fratura dos ossos do antebraço no adulto é mais comum no sexo
- A) feminino, acima de 40 anos de idade.
- B) feminino, abaixo de 40 anos de idade.
- C) masculino, acima de 40 anos de idade.
- D) masculino, abaixo de 40 anos de idade.
- 12. O teste clínico para diagnóstico da síndrome do impacto ulnocarpal é realizado aplicando-se compressão axial do punho associada à
- A) hiperflexão e desvio ulnar.
- B) hiperflexão e desvio radial.
- C) hiperextensão e desvio ulnar.
- D) hiperextensão e desvio radial.
- 13. Na sinostose radioulnar congênita, em um paciente com acometimento unilateral e o antebraço em posição neutra, o tratamento preferencial é
- A) o não cirúrgico.
- B) a ressecção da sinostose.
- C) a ressecção da sinostose com interposição.
- D) a osteotomia e fixação com o antebraço em pronação.



- Na fratura luxação da região proximal do antebraço na criança, o tipo B da classificação de LETTS corresponde à
- A) fratura completa da ulna com desvio anterior da cabeça do rádio.
- B) fratura completa da ulna com desvio posterior da cabeça do rádio.
- C) deformidade plástica da ulna com desvio anterior da cabeça do rádio.
- D) fratura em galho verde da ulna com desvio anterior da cabeça do rádio.
- 15. Na fratura do calcâneo, a avaliação tomográfica segundo SANDERS utiliza a imagem de maior espessura da articulação subtalar na faceta
- A) média, no corte sagital.
- B) média, no corte coronal.
- C) posterior, no corte sagital.
- D) posterior, no corte coronal.
- No fibroma não ossificante, pela classificação de RITSCHL, as fraturas ocorrem somente no estágio
- A) A.
- B) B.
- C) C.
- D) D.
- 17. A doença de OSGOOD-SCHLATTER tem forte associação com patela
- A) alta e alongamento do reto femoral.
- B) alta e encurtamento do reto femoral.
- C) baixa e alongamento do reto femoral.
- D) baixa e encurtamento do reto femoral.
- 18. Paciente masculino, 32 anos, vítima de trauma direto no joelho esquerdo há 1 hora, com pouca dor e com integridade do aparelho extensor. Na imagem radiográfica a seguir, o diagnóstico diferencial mais provável com relação à fratura da patela é





Fonte: TORNETA III, P.; RICCI, W. M.; OSTRUM, R. F.; MCQUEEN, M. M.; MCKEE, M. D.; COURT-BROWN, C. M. **Rockwood and Green's Fractures in adults.** 9. ed. Philadelphia: Wolters Kluwer, 2020.

- A) patela bipartida.
- B) osteonecrose da patela.
- C) pseudoartrose da patela.
- D) osteocondrite dissecante da patela.
- 19. A complicação mais comum da artroscopia do tornozelo é a
- A) fístula sinovial.
- B) lesão vascular.
- C) lesão neurológica.
- D) síndrome da dor complexa regional.
- 20. Na fratura do tornozelo na criança, segundo DIAS-TACHDJIAN, o mecanismo de trauma em que a fíbula permanece intacta é o de
- A) supinação-inversão.
- B) supinação-flexão plantar.
- C) supinação-rotação interna.
- D) pronação-eversão-rotação externa.



21. A imagem radiográfica do cotovelo a seguir representa



Fonte: WATERS, P. M.; SKAGGS, D. L.; FLYNN, J. M. Rockwood and Wilkins' Fractures in Children. 9. ed. Philadelphia: Wolters Kluwer, 2020.

- A) osteonecrose da tróclea.
- B) consolidação viciosa da tróclea.
- C) deficiência congênita da tróclea.
- D) desgaste central da região distal do úmero.
- 22. A fratura do planalto tibial tipo IV de SCHATZKER ocorre por mecanismo de trauma em
- A) varo e frequentemente associado à lesão do complexo ligamentar lateral do joelho.
- B) varo e frequentemente associado à lesão do complexo ligamentar medial do joelho.
- C) valgo e frequentemente associado à lesão do complexo ligamentar lateral do joelho.
- D) valgo e frequentemente associado à lesão do complexo ligamentar medial do joelho.
- 23. No tratamento cirúrgico do hálux valgo do adulto, o desmoronamento é uma complicação frequente da técnica de
- A) scarf.
- B) AKIN.
- C) CHEVRON.
- D) LAPIDUS.

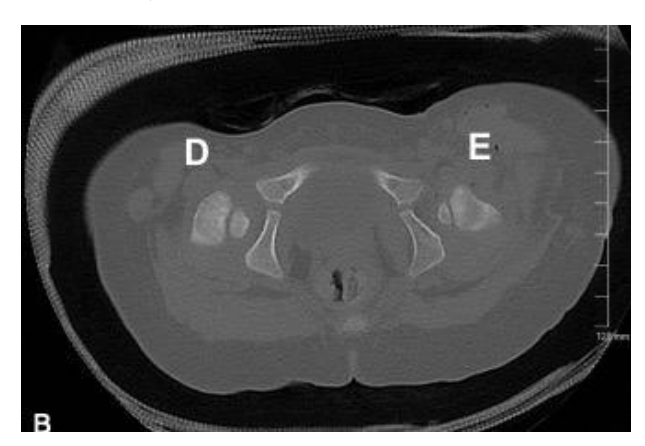


24. Na insuficiência do tendão tibial posterior, a radiografia a seguir mostra o ângulo



Fonte: AZAR, F. M.; BEATY, J. H. **Campbell's operative orthopaedics.** 14. ed. Philadelphia: Elsevier, 2021.

- A) de alinhamento do retropé.
- B) de alinhamento talonavicular.
- C) de incongruência talonavicular lateral.
- D) de incongruência calcaneocuboide medial.
- 25. Na displasia do desenvolvimento do quadril, a imagem tomográfica a seguir, pós-redução incruenta, demonstra



Fonte: AZAR, F. M.; BEATY, J. H. **Campbell's operative orthopaedics**. 14. ed. Philadelphia: Elsevier, 2021.

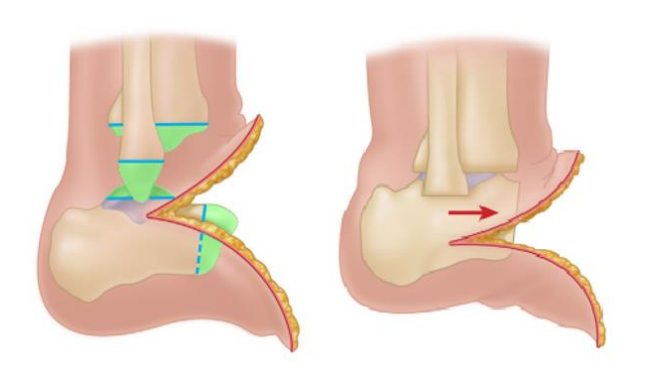
- A) ambos os quadris luxados.
- B) ambos os quadris reduzidos.
- C) o quadril direito luxado e o esquerdo reduzido.
- D) o quadril direito reduzido e o esquerdo luxado.



- 26. No tratamento da lesão proximal do bíceps por meio da tenodese subpeitoral deve-se afastar cuidadosamente para medial o
- A) peitoral maior e o grande dorsal para prevenção de lesão do nervo mediano.
- B) peitoral maior e o grande dorsal para prevenção de lesão do nervo musculocutâneo.
- C) coracobraquial e a cabeça curta do bíceps para prevenção de lesão do nervo mediano.
- D) coracobraquial e a cabeça curta do bíceps para prevenção de lesão do nervo musculocutâneo.
- 27. A estenose de canal cervical associada à cervicobraquialgia tem como um dos diagnósticos diferenciais o tumor de
- A) MERKEL.
- B) WARTHIN.
- C) PANCOAST.
- D) KRUKENBERG.
- 28. A fratura por estresse do colo femoral no adulto jovem ocorre mais comumente em mulheres devido
- A) ao sedentarismo e à obesidade, e nos homens devido ao etilismo e ao tabagismo.
- B) ao sedentarismo e à obesidade, e nos homens devido ao esforço físico intenso de repetição.
- C) à anorexia nervosa, osteoporose e amenorreia, e nos homens devido ao etilismo e ao tabagismo.
- D) à anorexia nervosa, osteoporose e amenorreia, e nos homens devido ao esforço físico intenso de repetição.
- 29. Na osteomielite da coluna vertebral, as infecções por *Enterococcus* e *Streptococcus* têm foco primário associado
- A) à pneumonia.
- B) à endocardite.
- C) à cavidade oral.
- D) ao trato urinário.



- 30. Na insuficiência ligamentar da articulação subtalar, a incidência radiográfica que pode demonstrar essa instabilidade é a
- A) perfil com gaveta posterior.
- B) de rotação externa com encaixe gravitacional.
- C) anteroposterior com carga e rotação interna de 10 graus.
- D) do estresse subtalar em inversão (incidência de BRODEN).
- 31. A fratura do capitato em crianças ocorre mais frequentemente com o punho em
- A) flexão.
- B) extensão.
- C) desvio ulnar.
- D) desvio radial.
- 32. A técnica de amputação do membro inferior demonstrada na imagem a seguir foi descrita por



Fonte: AZAR, F. M.; BEATY, J. H. **Campbell's operative orthopaedics**. 14. ed. Philadelphia: Elsevier, 2021.

- A) BOYD.
- B) SYME.
- C) WAGNER.
- D) SARMIENTO.
- 33. Paciente masculino, 15 anos, com dor na coxa. Com a imagem radiográfica a seguir, a principal hipótese diagnóstica é



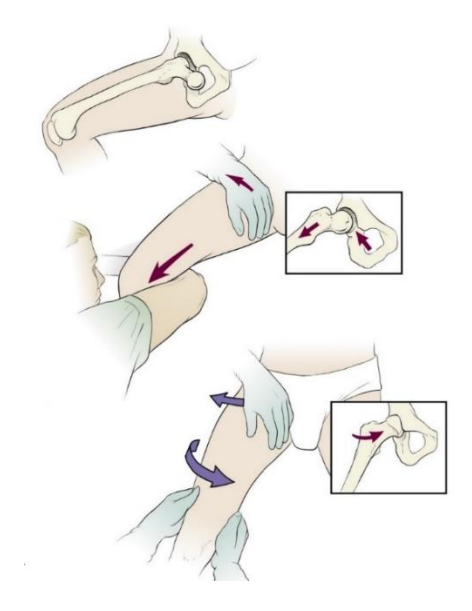


Fonte: AZAR, F. M.; BEATY, J. H. **Campbell's operative orthopaedics**. 14. ed. Philadelphia: Elsevier, 2021.

- A) osteossarcoma.
- B) condroblastoma.
- C) osteoma osteoide.
- D) tumor de células gigantes.
- 34. Na epifisiólise aguda e instável, a técnica em que é realizada uma artrotomia com redução aberta suave e descompressão da cápsula é a de
- A) GANZ.
- B) DUNN.
- C) PARSCH.
- D) SOUTHWICK.
- 35. O menisco discoide assintomático identificado acidentalmente em uma artroscopia deve ser
- A) submetido à saucerização.
- B) submetido à meniscoplastia.
- C) ressecado em sua totalidade.
- D) deixado intacto sem tratamento.
- 36. No tratamento da instabilidade anterior do ombro com o procedimento de LATARJET, os nervos que apresentam maior risco de lesão são
- A) radial e axilar.
- B) axilar e supraescapular.
- C) radial e supraescapular.
- D) axilar e musculocutâneo.



- 37. Na instabilidade rotatória posteromedial do cotovelo, além da força axial, o mecanismo de lesão envolve
- A) pronação e varo.
- B) pronação e valgo.
- C) supinação e varo.
- D) supinação e valgo.
- 38. Na luxação traumática anterior do quadril na criança, a manobra de redução ilustrada na figura a seguir é a de



Fonte: HERRING, J. A. **Tachdjian's pediatric orthopaedics**. 6. ed. Philadelphia: Elsevier, 2022.

- A) ALLIS.
- B) STIMSON.
- C) BIGELOW.
- D) STEWART-MILFORD.
- 39. A redução do offset umeral lateral na artroplastia do ombro provoca
- A) redução da translação da cabeça umeral.
- B) redução do braço de alavanca do manguito rotador.
- C) aumento da pressão sobre o componente glenoidal.
- D) aumento da tensão nas partes moles adjacentes à articulação.



- 40. Na semiologia do punho, a instabilidade ligamentar semilunopiramidal é avaliada pelo teste de
- A) WATSON.
- B) LINSCHEID.
- C) MASQUELET.
- D) KLEINERT-LATARJET.
- 41. A deformidade de HAGLUND refere-se à
- A) bursite retrocalcaneana.
- B) osteofitose insercional do calcâneo.
- C) exostose posterossuperior da tuberosidade calcânea.
- D) exostose insercional da aponeurose plantar no calcâneo.
- 42. No pé da criança, a presença de osso acessório que mais frequentemente associa-se a sintoma é o
- A) Os fibulare.
- B) Os trigonum.
- C) Os vesalianum.
- D) Os naviculare acessorium.
- 43. No tratamento da osteoporose, são medicamentos cuja ação principal é serem antirreabsortivos, o
- A) risedronato e a teriparatida.
- B) ibandronato e o romosozumabe.
- C) denosumabe e o romosozumabe.
- D) ácido zoledrônico e o denosumabe.
- 44. No tratamento da fratura do terço proximal do úmero, a complicação mais frequente é a
- A) rigidez.
- B) pseudartrose.
- C) osteonecrose.
- D) consolidação viciosa.



- 45. Nas infecções, o método para desalojar os microrganismos dos implantes ortopédicos retirados nas cirurgias aumentando a sensibilidade das culturas é conhecido como
- A) sonicação.
- B) fluidificação.
- C) extração nuclear.
- D) reação em cadeia da polimerase (PCR).
- 46. No tratamento da doença de BLOUNT, a órtese deve ser indicada até a idade de
- A) 3 anos e usada por até um ano.
- B) 6 anos e usada por até um ano.
- C) 3 anos e usada até a maturidade esquelética.
- D) 6 anos e usada até a maturidade esquelética.
- 47. No tratamento da artrose do joelho, uma contraindicação para a realização de osteotomia proximal da tíbia é a
- A) presença de artrite reumatoide.
- B) instabilidade associada do canto posterolateral.
- C) necessidade de correção maior do que 10 graus.
- D) dor no compartimento afetado durante atividade de alta demanda.
- 48. Na síndrome de WARTENBERG, os sintomas de parestesia do território sensitivo radial são provocados pela digitopercussão associada à
- A) pronação e flexão forçada do punho.
- B) supinação e flexão forçada do punho.
- C) pronação e extensão forçada do punho.
- D) supinação e extensão forçada do punho.
- Na avaliação clínica de uma criança com artrite séptica do quadril, este frequentemente encontra-se em posição de flexão,
- A) adução e rotação medial.
- B) adução e rotação lateral.
- C) abdução e rotação medial.
- D) abdução e rotação lateral.



- 50. Na instabilidade patelar do adulto sem displasia troclear, existe a indicação de osteotomia de realinhamento distal quando o índice tomográfico TA-GT tem valor igual ou superior a
- A) 10 mm.
- B) 15 mm.
- C) 20 mm.
- D) 25 mm.
- 51. A profilaxia da Síndrome Complexa de Dor Regional nas fraturas de punho pode ser realizada com uso oral de
- A) vitamina A
- B) vitamina B.
- C) vitamina C.
- D) vitamina D.
- 52. O teste mais sensível para avalição de suficiência do ligamento cruzado anterior do joelho é
- A) o pivot shift.
- B) o LACHMAN.
- C) a gaveta anterior.
- D) o de contração ativa do quadríceps.
- 53. Na fratura da espinha tibial da criança, o maior prejuízo funcional está mais frequentemente associado à presença de
- A) estalido no joelho.
- B) instabilidade residual.
- C) derrame de repetição.
- D) perda da extensão total.
- 54. Na escoliose degenerativa do adulto, os sintomas de claudicação neurogênica
- A) melhoram com a flexão do tronco, assim como na estenose de canal lombar.
- B) melhoram com a flexão do tronco, ao contrário da estenose de canal lombar.
- C) não melhoram com a flexão do tronco, assim como na estenose de canal lombar.
- D) não melhoram com a flexão do tronco, ao contrário da estenose de canal lombar.



- 55. Na amputação transumeral, a osteotomia angular indicada para melhor adaptação da prótese mioelétrica deve ser realizada com ângulo de
- A) 45º e fixação com placa anterior.
- B) 70º e fixação com placa anterior.
- C) 45º e fixação com placa posterior.
- D) 70º e fixação com placa posterior.
- 56. O paciente com fratura desviada do colo do tálus tratado cirurgicamente, devido ao risco de necrose, deve ser acompanhado por pelo menos
- A) 12 meses.
- B) 24 meses.
- C) 36 meses.
- D) 48 meses.
- 57. O abscesso de BRODIE ocorre mais frequentemente em
- A) crianças, nas vértebras.
- B) crianças, nos ossos longos.
- C) adultos jovens, nas vértebras.
- D) adultos jovens, nos ossos longos.
- 58. Na osteossíntese intramedular para fratura proximal da tíbia, o ponto de entrada da haste excessivamente medial provoca desvio da fratura
- A) em varo.
- B) em valgo.
- C) para anterior.
- D) para posterior.
- 59. Na avaliação radiográfica da artrose do quadril, o tipo C de DORR apresenta maior perda óssea nas corticais
- A) medial e anterior.
- B) medial e posterior.
- C) lateral e anterior.
- D) lateral e posterior.



- 60. Na sequela da fratura da cabeça e do colo do rádio em crianças, o movimento mais frequentemente comprometido é a
- A) flexão.
- B) extensão.
- C) pronação.
- D) supinação.
- 61. No trauma raquimedular, a síndrome em que o paciente apresenta função motora e sensibilidade à dor e ao tato preservadas, enquanto a propriocepção está alterada, é a
- A) medular central.
- B) medular anterior.
- C) do cone medular.
- D) medular posterior.
- 62. O conceito inicial de artroplastia do quadril de CHARNLEY inclui
- A) medialização do componente acetabular e diminuição do braço de alavanca dos abdutores.
- B) medialização do componente acetabular e osteotomia do grande trocanter com reinserção lateralizada.
- C) lateralização do componente acetabular e diminuição do braço de alavanca dos abdutores.
- D) lateralização do componente acetabular e osteotomia do grande trocanter com reinserção lateralizada.
- 63. Na lesão aguda do ligamento cruzado anterior, o padrão típico do edema ósseo encontrado na ressonância magnética acomete o côndilo femoral
- A) lateral e o planalto tibial lateral.
- B) lateral e o planalto tibial medial.
- C) medial e o planalto tibial lateral.
- D) medial e o planalto tibial medial.
- 64. A fratura periprotética demonstrada na imagem radiográfica a seguir, é classificada como VANCOUVER





Fonte: TORNETTA III, P.; RICCI, W. M.; OSTRUM, R. F.; MCQUEEN, M. M.; MCKEE, M. D.; COURT-BROWN, C. M. **Rockwood and Green's Fractures in adults**. 9. ed. Philadelphia: Wolters Kluwer, 2020.

- A) B1.
- B) B2.
- C) B3.
- D) C.
- 65. A coxa vara do desenvolvimento está mais frequentemente associada
- A) ao pé talo vertical.
- B) à escoliose congênita.
- C) à síndrome de MARFAN.
- D) à disostose cleidocraniana.
- 66. Na paralisia cerebral, a técnica de VULPIUS para o tratamento do pé equino é realizada na zona de alongamento
- A) 1.
- B) 2.
- C) 3.
- D) 4.



- 67. No teste da compressão (*squeeze test*) para o diagnóstico da ruptura do tendão bicipital distal, a flexão do cotovelo deve ser de
- A) 0 a 20 graus.
- B) 20 a 40 graus.
- C) 40 a 60 graus.
- D) 60 a 80 graus.
- 68. O tumor ósseo que mais frequentemente acomete os elementos anteriores da coluna é o
- A) osteocondroma.
- B) osteoma osteoide.
- C) tumor de células gigantes.
- D) cisto ósseo aneurismático.
- 69. Na fratura diafisária femoral por projétil de arma de fogo de baixa energia, o método preferencial para a estabilização definitiva é
- A) a placa tipo ponte.
- B) a haste intramedular.
- C) o fixador externo uniplanar.
- D) o fixador externo circular tipo ILIZAROV.
- 70. De acordo com a escala de MIRELS para tratamento de fratura iminente em ossos longos, a presença de lesão tumoral na extremidade distal do fêmur recebe
- A) 1 ponto.
- B) 2 pontos.
- C) 3 pontos.
- D) 4 pontos.
- 71. Na lesão fisária esternoclavicular com desvio anterior da metáfise, a inclinação da cabeça e a direção da tração do músculo esternocleidomastóideo são, respectivamente, para o lado
- A) afetado e anterior.
- B) afetado e posterior.
- C) não afetado e anterior.
- D) não afetado e posterior.



- 72. Na deformidade de MADELUNG, o ligamento de VICKERS conecta o
- A) escafoide à epífise do rádio.
- B) escafoide à metáfise do rádio.
- C) semilunar à epífise do rádio.
- D) semilunar à metáfise do rádio.
- 73. Na fratura do polo proximal do escafoide no adulto, a prevalência da necrose do polo proximal é de aproximadamente
- A) 35%.
- B) 55%.
- C) 75%.
- D) 95%.
- 74. A mielomeningocele em uma criança que apresenta força do quadríceps e glúteo médio grau 3 ou mais, e força do complexo gastrocnêmio-soleo grau 2 ou menos é classificada funcionalmente como
- A) lombar alta.
- B) lombar baixa.
- C) sacral alta.
- D) sacral baixa.
- 75. A sinovite vilonodular pigmentada acomete mais frequentemente o
- A) ombro.
- B) quadril.
- C) joelho.
- D) tornozelo.
- 76. Na avaliação das metástases em ossos corticais, as bordas das lesões evidenciadas nas radiografias são
- A) regulares e quase não há reação periosteal.
- B) regulares e quase sempre existe reação periosteal.
- C) irregulares e quase não há reação periosteal.
- D) irregulares e quase sempre existe reação periosteal.



- 77. A complicação neurovascular mais comum após a fratura da clavícula é
- A) aneurisma da artéria subclávia.
- B) estiramento agudo do plexo braquial.
- C) trombose subaguda da veia subclávia.
- D) compressão crônica do plexo braquial.
- 78. Os ligamentos meniscofemorais são restritores secundários da translação
- A) anterior da tíbia e se inserem no corno posterior do menisco lateral.
- B) anterior da tíbia e se inserem no corno posterior do menisco medial.
- C) posterior da tíbia e se inserem no corno posterior do menisco lateral.
- D) posterior da tíbia e se inserem no corno posterior do menisco medial.
- Na classificação das lesões fisárias de SALTER-HARRIS, o tipo VI acrescentado por RANG consiste na fratura
 - A) intra-articular com separação parcial da epífise.
 - B) que acomete a placa de crescimento e a metáfise parcialmente.
 - avulsão na inserção de um ligamento, levando com ele uma porção do anel pericondral.
 - D) que passa a partir da superfície articular por todas as camadas da fise através da metáfise.
- 80. Na fratura do colo femoral submetida ao acesso lateral direto de HARDINGE não deve ser realizada dissecção proximal maior que 3 cm a 5 cm do trocanter maior, por risco de lesão do nervo
- A) ciático.
- B) femoral.
- C) glúteo inferior.
- D) glúteo superior.
- 81. Na fratura da tuberosidade da tíbia no adolescente, o risco de síndrome compartimental aguda está relacionado à lesão da artéria
- A) infrapatelar transversa.
- B) recorrente tibial anterior.
- C) genicular medial inferior.
- D) recorrente tibial posterior.



- 82. Na tendinopatia calcária do manguito rotador, o tendão mais acometido é o
- A) infraespinal, 1,5 cm a 2 cm da sua inserção.
- B) supraespinal, 1,5 cm a 2 cm da sua inserção.
- C) infraespinal com localização insercional.
- D) supraespinal com localização insercional.
- 83. Na osteoartrite da mão, os osteófitos que se formam nas articulações interfalangeanas proximais e distais são denominados nódulos de
- A) BOUCHARD e HEBERDEN, respectivamente.
- B) HEBERDEN e BOUCHARD, respectivamente.
- C) BOUCHARD, em ambas as localizações.
- D) HEBERDEN, em ambas as localizações.
- 84. No tratamento da ruptura crônica do tendão patelar, a técnica de MANDELBAUM consiste em
- A) reconstrução com tendão calcâneo homólogo.
- B) reconstrução com tendões flexores autólogos.
- C) reconstrução com tendões flexores homólogos.
- D) reparo do tendão com zetaplastia, e reforço com tendões flexores autólogos.
- 85. Na fratura da diáfise do fêmur na criança, o acometimento na região proximal comparado à distal faz com que a redução seja
- A) mais fácil de controlar e a deformidade residual mais tolerável.
- B) mais fácil de controlar e a deformidade residual menos tolerável.
- C) mais difícil de controlar e a deformidade residual mais tolerável.
- D) mais difícil de controlar e a deformidade residual menos tolerável.
- 86. No tratamento do osteossarcoma, a avaliação do grau de necrose tumoral segundo HUVOS está relacionada à quimioterapia
- A) pré-operatória, com graus I e II acima de 90% de necrose.
- B) pós-operatória, com graus I e II abaixo de 90% de necrose.
- C) pré-operatória, com graus III e IV acima de 90% de necrose.
- D) pós-operatória, com graus III e IV abaixo de 90% de necrose.



87. Na propedêutica do quadril, o teste demonstrado na imagem a seguir é o de

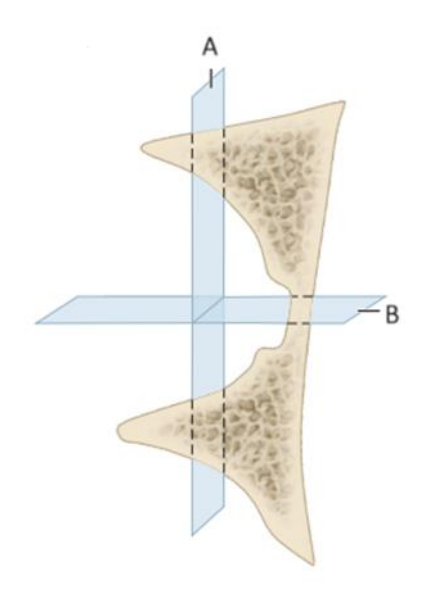


Fonte: LEITE, N. M.; FALOPPA, F. **Propedêutica Ortopédica e Traumatológica**. 1. ed. Porto Alegre: Artmed, 2013.

- A) LUDLOFF, realizado para avaliar lesão do iliopsoas e fratura-avulsão do trocanter menor.
- B) LUDLOFF, realizado para avaliar lesão do reto femoral e fratura-avulsão da espinha ilíaca anteroinferior.
- C) BRAGARD, realizado para avaliar lesão do iliopsoas e fratura-avulsão do trocanter menor.
- D) BRAGARD, realizado para avaliar lesão do reto femoral e fratura-avulsão da espinha ilíaca anteroinferior.
- 88. Na dissociação escapulotorácica, o tipo 2B na classificação de ZELLE é caracterizado por comprometimento
- A) musculoesquelético isolado.
- B) musculoesquelético e vascular.
- C) musculoesquelético e neurológico incompleto.
- D) musculoesquelético, neurológico incompleto e vascular.
- 89. Em uma hérnia de disco cervical foraminal com parestesia na face lateral do antebraço e no polegar, e diminuição de força do extensor radial longo do carpo, a raiz e o segmento vertebral envolvidos são respectivamente
- A) C5 e C4-C5.
- B) C5 e C5-C6.
- C) C6 e C5-C6.
- D) C6 e C6-C7.



- 90. Em relação à embriologia do membro superior, o mesoderma lateral é responsável pela formação de
- A) ossos, tendões e cartilagens.
- B) cartilagens, tendões e músculos.
- C) vasos sanguíneos, nervos e ossos.
- D) músculos, nervos e vasos sanguíneos.
- 91. Na deformidade de SPRENGEL, a abdução do ombro está
- A) normal e a escápula hipoplásica.
- B) normal e a escápula hiperplásica.
- C) limitada e a escápula hipoplásica.
- D) limitada e a escápula hiperplásica.
- 92. Na fratura da diáfise do fêmur, as complicações relacionadas ao ponto de entrada da haste femoral anterógrada são os riscos de
- A) lesão do nervo glúteo superior e dano à artéria circunflexa femoral medial.
- B) lesão do nervo glúteo superior e dano à artéria circunflexa femoral lateral.
- C) lesão do nervo glúteo inferior e dano à artéria circunflexa femoral medial.
- D) lesão do nervo glúteo inferior e dano à artéria circunflexa femoral lateral.
- 93. Na fratura de acetábulo, a figura a seguir representa um corte tomográfico axial, sendo que os planos A e B demonstram respectivamente a orientação do traço de fratura





Fonte: AZAR, F. M.; BEATY, J. H. **Campbell's operative orthopaedics**. 14. ed. Philadelphia: Elsevier, 2021.

- A) transversa e da coluna.
- B) transversa e da parede.
- C) da coluna e transversa.
- D) da parede e transversa.
- 94. Na escoliose idiopática infantil, o método desenvolvido por MEHTA para avaliar o potencial de progressão é por meio da diferença na mensuração do ângulo entre
- A) arcos costais e vértebra.
- B) pedículos e processo espinhoso.
- C) vértebra superior e vértebra apical.
- D) vértebra apical e vértebra neutra inferior.
- 95. No tratamento cirúrgico da pseudartrose atrófica com encurtamento, pelo método de ILIZAROV, é realizada
- A) distração com corticotomia diafisária e alongamento único.
- B) compressão com corticotomia diafisária e alongamento único.
- C) distração com corticotomia metafisária e alongamento gradual.
- D) compressão com corticotomia metafisária e alongamento gradual.
- 96. Na contratura de DUPUYTREN, a progressão da doença é mais rápida nos casos
- A) bilaterais e que acometem os dedos mais radiais da mão.
- B) bilaterais e que acometem os dedos mais ulnares da mão.
- C) unilaterais e que acometem os dedos mais radiais da mão.
- D) unilaterais e que acometem os dedos mais ulnares da mão.
- 97. No tratamento do pé torto congênito bilateral, a órtese de abdução (DENIS BROWNE) deve ser posicionada com os pés em rotação lateral de
- A) 50 graus.
- B) 60 graus.
- C) 70 graus.
- D) 80 graus.



- 98. Na síndrome de MAFFUCCI, os múltiplos hemangiomas envolvendo partes moles estão relacionados à
- A) neurofibromatose.
- B) encondromatose múltipla.
- C) displasia fibrosa poliostótica.
- D) osteocondromatose múltipla.
- 99. No teste de compressão do pronador para diagnóstico de compressão do nervo mediano, a pressão com o polegar no músculo pronador redondo deve ser realizada pelo examinador em suas regiões
- A) distal e medial.
- B) distal e lateral.
- C) proximal e lateral.
- D) proximal e medial.
- 100. Na artroscopia do joelho para reparo de uma lesão instável no corno anterior do menisco, a melhor opção de sutura é a
- A) all-inside.
- B) all-outside.
- C) outside-in.
- D) inside-out.



		1	
Número da Questão	Bibliografia do Edital	Capítulo	Gabarito
	AZAR, F. M.; BEATY, J. H. Campbell's		
	operative orthopaedics. 14. ed. Philadelphia:		
1	Elsevier, 2021.	62	Α
	AZAR, F. M.; BEATY, J. H. Campbell's		
	operative orthopaedics. 14. ed. Philadelphia:		
2	Elsevier, 2021.	46	Α
	TORNETA III, P.; RICCI, W. M.; OSTRUM, R. F.;		
	MCQUEEN, M. M.; MCKEE, M. D.; COURT-		
	BROWN, C. M. Rockwood and Green's		
	Fractures in adults. 9. ed. Philadelphia: Wolters		_
3	Kluwer, 2020.	39	С
	AZAR, F. M.; BEATY, J. H. Campbell's		
	operative orthopaedics. 14. ed. Philadelphia:		_
4	Elsevier, 2021.	56	В
	MOTTA FILHO, G. R.; BARROS FILHO, T. E. P.		
_	Ortopedia e Traumatologia. 1. ed. Rio de	40.0	^
5	Janeiro: Elsevier, 2018.	12.2	А
	MOTTA FILHO, G. R.; BARROS FILHO, T. E. P.		
6	Ortopedia e Traumatologia. 1. ed. Rio de Janeiro: Elsevier, 2018.	8.9	D
0	MOTTA FILHO, G. R.; BARROS FILHO, T. E. P.	0.9	Ь
	Ortopedia e Traumatologia. 1. ed. Rio de		
7		2.15	Δ
	AZAR, F. M.; BEATY, J. H. Campbell's	2.10	/ /
	operative orthopaedics. 14. ed. Philadelphia:		
8	Elsevier, 2021.	41	С
	AZAR, F. M.; BEATY, J. H. Campbell's	1	
	operative orthopaedics. 14. ed. Philadelphia:		
9	Elsevier, 2021.	39	D
	AZAR, F. M.; BEATY, J. H. Campbell's		
	operative orthopaedics. 14. ed. Philadelphia:		
10	Elsevier, 2021.	23	С
	TORNETA III, P.; RICCI, W. M.; OSTRUM, R. F.;		
	MCQUEEN, M. M.; MCKEE, M. D.; COURT-		
	BROWN, C. M. Rockwood and Green's		
	Fractures in adults. 9. ed. Philadelphia: Wolters		
11	Kluwer, 2020.	41	D
	AZAR, F. M.; BEATY, J. H. Campbell's		
	operative orthopaedics. 14. ed. Philadelphia:		
12	Elsevier, 2021.	69	С
	HERRING, J. A. Tachdjian's pediatric		
4.0	orthopaedics. 6. ed. Philadelphia: Elsevier,	4.0	_
13	2022.	12	А
	MOTTA FILHO, G. R.; BARROS FILHO, T. E. P.		
4.4	Ortopedia e Traumatologia. 1. ed. Rio de	40.5	D
14	Janeiro: Elsevier, 2018.	12.5	ען



•	, , , , , , , , , , , , , , , , , , , ,	-	
	MOTTA FILHO, G. R.; BARROS FILHO, T. E. P.		
	Ortopedia e Traumatologia. 1. ed. Rio de		
15	Janeiro: Elsevier, 2018.	2.48	D
	HERRING, J. A. Tachdjian's pediatric		
40	orthopaedics. 6. ed. Philadelphia: Elsevier,	0.5	5
16	2022.	25	В
	AZAR, F. M.; BEATY, J. H. Campbell's		
17	operative orthopaedics. 14. ed. Philadelphia: Elsevier, 2021.	32	D
17	TORNETA III, P.; RICCI, W. M.; OSTRUM, R. F.;	32	Б
	MCQUEEN, M. M.; MCKEE, M. D.; COURT-		
	BROWN, C. M. Rockwood and Green's		
	Fractures in adults. 9. ed. Philadelphia: Wolters		
18	Kluwer, 2020.	59	Α
	AZAR, F. M.; BEATY, J. H. Campbell's		
	operative orthopaedics. 14. ed. Philadelphia:		
19	Elsevier, 2021.	50	С
	HERRING, J. A. Tachdjian's pediatric		
	orthopaedics. 6. ed. Philadelphia: Elsevier,		
20	2022.	30	В
	WATERS, P. M.; SKAGGS, D. L.; FLYNN, J. M.		
	Rockwood and Wilkins' Fractures in Children.		
21	9. ed. Philadelphia: Wolters Kluwer, 2020.	16	Α
	MOTTA FILHO, G. R.; BARROS FILHO, T. E. P.		
	Ortopedia e Traumatologia. 1. ed. Rio de		
22	Janeiro: Elsevier, 2018.	2.43	Α
	MOTTA FILHO, G. R.; BARROS FILHO, T. E. P.		
00	Ortopedia e Traumatologia. 1. ed. Rio de	704	
23	Janeiro: Elsevier, 2018.	7.8.1	А
	AZAR, F. M.; BEATY, J. H. Campbell's		
24	operative orthopaedics. 14. ed. Philadelphia: Elsevier, 2021.	83	C
24	AZAR, F. M.; BEATY, J. H. Campbell's	03	C
	operative orthopaedics. 14. ed. Philadelphia:		
25		30	В
20	AZAR, F. M.; BEATY, J. H. Campbell's	- 50	_
	operative orthopaedics. 14. ed. Philadelphia:		
26	Elsevier, 2021.	48	D
	MOTTA FILHO, G. R.; BARROS FILHO, T. E. P.		
	Ortopedia e Traumatologia. 1. ed. Rio de		
27	Janeiro: Elsevier, 2018.	7.4	C
	TORNETA III, P.; RICCI, W. M.; OSTRUM, R. F.;		
	MCQUEEN, M. M.; MCKEE, M. D.; COURT-		
	BROWN, C. M. Rockwood and Green's		
_	Fractures in adults. 9. ed. Philadelphia: Wolters	_	
28	Kluwer, 2020.	52	D
	AZAR, F. M.; BEATY, J. H. Campbell's		
	operative orthopaedics. 14. ed. Philadelphia:		_
29	Elsevier, 2021.	42	R
	AZAR, F. M.; BEATY, J. H. Campbell's		
20	operative orthopaedics. 14. ed. Philadelphia:	00	<u></u>
30	Elsevier, 2021.	90	טן



	,		
	WATERS, P. M.; SKAGGS, D. L.; FLYNN, J. M.		
_	Rockwood and Wilkins' Fractures in Children.	_	
31	9. ed. Philadelphia: Wolters Kluwer, 2020.	7	В
	AZAR, F. M.; BEATY, J. H. Campbell's		
•	operative orthopaedics. 14. ed. Philadelphia:		
32	Elsevier, 2021.	14	А
	AZAR, F. M.; BEATY, J. H. Campbell's		
	operative orthopaedics. 14. ed. Philadelphia:		
33	Elsevier, 2021.	25	С
	HERRING, J. A. Tachdjian's pediatric		
. .	orthopaedics. 6. ed. Philadelphia: Elsevier,	4 -	
34	2022.	15	С
	AZAR, F. M.; BEATY, J. H. Campbell's		
0.5	operative orthopaedics. 14. ed. Philadelphia:		_
35	Elsevier, 2021.	51	D
	TORNETA III, P.; RICCI, W. M.; OSTRUM, R. F.;		
	MCQUEEN, M. M.; MCKEE, M. D.; COURT-		
	BROWN, C. M. Rockwood and Green's		
	Fractures in adults. 9. ed. Philadelphia: Wolters		
36	Kluwer, 2020.	34	D
	TORNETA III, P.; RICCI, W. M.; OSTRUM, R. F.;		
	MCQUEEN, M. M.; MCKEE, M. D.; COURT-		
	BROWN, C. M. Rockwood and Green's		
	Fractures in adults. 9. ed. Philadelphia: Wolters		
37	,	39	Α
·	HERRING, J. A. Tachdjian's pediatric		
	orthopaedics. 6. ed. Philadelphia: Elsevier,		
38	2022.	30	A
· <u> </u>	AZAR, F. M.; BEATY, J. H. Campbell's		
	operative orthopaedics. 14. ed. Philadelphia:		
39	Elsevier, 2021.	12	В
	LEITE, N. M.; FALOPPA, F. Propedêutica		
	Ortopédica e Traumatológica. 1. ed. Porto		
40	Alegre: Artmed, 2013.	9	С
	AZAR, F. M.; BEATY, J. H. Campbell's		
	operative orthopaedics. 14. ed. Philadelphia:		
41	Elsevier, 2021.	83	С
	HERRING, J. A. Tachdjian's pediatric		
	orthopaedics. 6. ed. Philadelphia: Elsevier,		
42	2022.	19	D
	TORNETA III, P.; RICCI, W. M.; OSTRUM, R. F.;		
	MCQUEEN, M. M.; MCKEE, M. D.; COURT-		
	BROWN, C. M. Rockwood and Green's		
	Fractures in adults. 9. ed. Philadelphia: Wolters		
43	Kluwer, 2020.	4	D
	AZAR, F. M.; BEATY, J. H. Campbell's		
	operative orthopaedics. 14. ed. Philadelphia:		
44	Elsevier, 2021.	57	Α
<u> </u>	TORNETA III, P.; RICCI, W. M.; OSTRUM, R. F.;		
	MCQUEEN, M. M.; MCKEE, M. D.; COURT-		
	BROWN, C. M. Rockwood and Green's		
	Fractures in adults. 9. ed. Philadelphia: Wolters		
45	Kluwer, 2020.	4	Α
		' '	



•			-
	HERRING, J. A. Tachdjian's pediatric		
	orthopaedics. 6. ed. Philadelphia: Elsevier,		
46	2022.	18	Α
	AZAR, F. M.; BEATY, J. H. Campbell's		
	operative orthopaedics. 14. ed. Philadelphia:		
47	Elsevier, 2021.	9	Α
	MOTTA FILHO, G. R.; BARROS FILHO, T. E. P.		
	Ortopedia e Traumatologia. 1. ed. Rio de		
48	Janeiro: Elsevier, 2018.	7.4.5	Α
	WEINSTEIN, S. L.; FLYNN, J. M. Lovell and		
	Winter's pediatric orthopaedics. 8. ed.		
49	Philadelphia: Lippincott Williams & Wilkins, 2021.	12	D
	AZAR, F. M.; BEATY, J. H. Campbell's		
	operative orthopaedics. 14. ed. Philadelphia:		
50	Elsevier, 2021.	47	С
	MOTTA FILHO, G. R.; BARROS FILHO, T. E. P.	.,	
	Ortopedia e Traumatologia. 1. ed. Rio de		
51	Janeiro: Elsevier, 2018.	17.5	C
31	AZAR, F. M.; BEATY, J. H. Campbell's	17.3	
50	operative orthopaedics. 14. ed. Philadelphia:	45	R
52	Elsevier, 2021.	45	D
	WEINSTEIN, S. L.; FLYNN, J. M. Lovell and		
50	Winter's pediatric orthopaedics. 8. ed.	00	5
53	Philadelphia: Lippincott Williams & Wilkins, 2021.	33	ט
	AZAR, F. M.; BEATY, J. H. Campbell's		
	operative orthopaedics. 14. ed. Philadelphia:		_
54	Elsevier, 2021.	39	D
	AZAR, F. M.; BEATY, J. H. Campbell's		
	operative orthopaedics. 14. ed. Philadelphia:		
55	Elsevier, 2021.	18	D
	TORNETA III, P.; RICCI, W. M.; OSTRUM, R. F.;		
	MCQUEEN, M. M.; MCKEE, M. D.; COURT-		
	BROWN, C. M. Rockwood and Green's		
	Fractures in adults. 9. ed. Philadelphia: Wolters		
56		65	С
	AZAR, F. M.; BEATY, J. H. Campbell's		
	operative orthopaedics. 14. ed. Philadelphia:		
57	Elsevier, 2021.	21	D
	TORNETA III, P.; RICCI, W. M.; OSTRUM, R. F.;		
	MCQUEEN, M. M.; MCKEE, M. D.; COURT-		
	BROWN, C. M. Rockwood and Green's		
	Fractures in adults. 9. ed. Philadelphia: Wolters		
58	Kluwer, 2020.	62	В
	AZAR, F. M.; BEATY, J. H. Campbell's	02	_
	operative orthopaedics. 14. ed. Philadelphia:		
50	Elsevier, 2021.	3	В
- 59	HERRING, J. A. Tachdjian's pediatric	3	
	orthopaedics. 6. ed. Philadelphia: Elsevier,		
60	2022.	29	С
00		29	
	AZAR, F. M.; BEATY, J. H. Campbell's		
64	operative orthopaedics. 14. ed. Philadelphia:	14	<u></u>
61	Elsevier, 2021.	41	D



	1	İ
·		
	3	В
•		
	45	Α
·		
•	58	В
•		_
	16	D
•		
		_
	31	В
·	46	D
•		_
	13	С
·		_
	56	В
-		
	3.7	В
•		
	29	Α
	4.0	_
	12	ט
•	00	_
·	69	A
•	4 =	
	15	U
•		
•	20	
•	∠8_	С
	0.0	
	3.6	U
MCQUEEN, M. M.; MCKEE, M. D.; COURT-		
BROWN, C. M. Rockwood and Green's	33	D
	HERRING, J. A. Tachdjian's pediatric orthopaedics. 6. ed. Philadelphia: Elsevier, 2022. AZAR, F. M.; BEATY, J. H. Campbell's operative orthopaedics. 14. ed. Philadelphia: Elsevier, 2021. WEINSTEIN, S. L.; FLYNN, J. M. Lovell and Winter's pediatric orthopaedics. 8. ed. Philadelphia: Lippincott Williams & Wilkins, 2021. AZAR, F. M.; BEATY, J. H. Campbell's operative orthopaedics. 14. ed. Philadelphia: Elsevier, 2021. MOTTA FILHO, G. R.; BARROS FILHO, T. E. P. Ortopedia e Traumatologia. 1. ed. Rio de Janeiro: Elsevier, 2018. TORNETA III, P.; RICCI, W. M.; OSTRUM, R. F.; MCQUEEN, M. M.; MCKEE, M. D.; COURT-	operative orthopaedics. 14. ed. Philadelphia: Elsevier, 2021. AZAR, F. M.; BEATY, J. H. Campbell's operative orthopaedics. 14. ed. Philadelphia: Elsevier, 2021. TORNETA III, P.; RICCI, W. M.; OSTRUM, R. F.; MCQUEEN, M. M.; MCKEE, M. D.; COURT- BROWN, C. M. Rockwood and Green's Fractures in adults. 9. ed. Philadelphia: Wolters Kluwer, 2020. HERRING, J. A. Tachdjian's pediatric orthopaedics. 6. ed. Philadelphia: Elsevier, 2022. AZAR, F. M.; BEATY, J. H. Campbell's operative orthopaedics. 14. ed. Philadelphia: Elsevier, 2021. WEINSTEIN, S. L.; FLYNN, J. M. Lovell and Winter's pediatric orthopaedics. 8. ed. Philadelphia: Lippincott Williams & Wilkins, 2021. TORNETA III, P.; RICCI, W. M.; OSTRUM, R. F.; MCQUEEN, M. M.; MCKEE, M. D.; COURT- BROWN, C. M. Rockwood and Green's Fractures in adults. 9. ed. Philadelphia: Wolters Kluwer, 2020. MOTTA FILHO, G. R.; BARROS FILHO, T. E. P. Ortopedia e Traumatologia. 1. ed. Rio de Janeiro: Elsevier, 2018. HERRING, J. A. Tachdjian's pediatric orthopaedics. 6. ed. Philadelphia: Elsevier, 2022. AZAR, F. M.; BEATY, J. H. Campbell's operative orthopaedics. 14. ed. Philadelphia: Elsevier, 2021. WEINSTEIN, S. L.; FLYNN, J. M. Lovell and Winter's pediatric orthopaedics. 8. ed. Philadelphia: Lippincott Williams & Wilkins, 2021. AZAR, F. M.; BEATY, J. H. Campbell's operative orthopaedics. 14. ed. Philadelphia: Elsevier, 2021. WEINSTEIN, S. L.; FLYNN, J. M. Lovell and Winter's pediatric orthopaedics. 8. ed. Philadelphia: Lippincott Williams & Wilkins, 2021. AZAR, F. M.; BEATY, J. H. Campbell's operative orthopaedics. 14. ed. Philadelphia: Elsevier, 2021. WEINSTEIN, S. L.; FLYNN, J. M. Lovell and Winter's pediatric orthopaedics. 14. ed. Philadelphia: Elsevier, 2021. MOTTA FILHO, G. R.; BARROS FILHO, T. E. P. Ortopedia e Traumatologia. 1. ed. Rio de Janeiro: Elsevier, 2018. TORNETA III, P.; RICCI, W. M.; OSTRUM, R. F.; MCQUEEN, M. M.; MCKEE, M. D.; COURT-



	ORTOPEDIA E TRAUMATOLOGIA E Treinamento		
	Fractures in adults. 9. ed. Philadelphia: Wolters		
	Kluwer, 2020.		
	AZAR, F. M.; BEATY, J. H. Campbell's		
_ =	operative orthopaedics. 14. ed. Philadelphia:	. –	
78	Elsevier, 2021.	45	С
	MOTTA FILHO, G. R.; BARROS FILHO, T. E. P.		
	Ortopedia e Traumatologia. 1. ed. Rio de		
79	Janeiro: Elsevier, 2018.	12.1	С
	TORNETA III, P.; RICCI, W. M.; OSTRUM, R. F.;		
	MCQUEEN, M. M.; MCKEE, M. D.; COURT-		
	BROWN, C. M. Rockwood and Green's		
	Fractures in adults. 9. ed. Philadelphia: Wolters		_
80	Kluwer, 2020.	52	ט
	WATERS, P. M.; SKAGGS, D. L.; FLYNN, J. M.		
	Rockwood and Wilkins' Fractures in Children.	<u> </u>	
81	9. ed. Philadelphia: Wolters Kluwer, 2020.	26	В
	AZAR, F. M.; BEATY, J. H. Campbell's		
	operative orthopaedics. 14. ed. Philadelphia:		
82	Elsevier, 2021.	46	В
	AZAR, F. M.; BEATY, J. H. Campbell's		
	operative orthopaedics. 14. ed. Philadelphia:		
83	Elsevier, 2021.	73	A (Retificado)
	AZAR, F. M.; BEATY, J. H. Campbell's		
_	operative orthopaedics. 14. ed. Philadelphia:	= .	
84	Elsevier, 2021.	48	טן
	WEINSTEIN, S. L.; FLYNN, J. M. Lovell and		
	Winter's pediatric orthopaedics. 8. ed.		
85	Philadelphia: Lippincott Williams & Wilkins, 2021.	31	C
	MOTTA FILHO, G. R.; BARROS FILHO, T. E. P.		
	Ortopedia e Traumatologia. 1. ed. Rio de		
86	Janeiro: Elsevier, 2018.	2.48	С
	LEITE, N. M.; FALOPPA, F. Propedêutica		
	Ortopédica e Traumatológica. 1. ed. Porto		
87	Alegre: Artmed, 2013.	13	Α
	TORNETA III, P.; RICCI, W. M.; OSTRUM, R. F.;		
	MCQUEEN, M. M.; MCKEE, M. D.; COURT-		
	BROWN, C. M. Rockwood and Green's		
	Fractures in adults. 9. ed. Philadelphia: Wolters		
88	Kluwer, 2020.	32	С
	AZAR, F. M.; BEATY, J. H. Campbell's		
	operative orthopaedics. 14. ed. Philadelphia:		
89	Elsevier, 2021.	38	C
	MOTTA FILHO, G. R.; BARROS FILHO, T. E. P.		
	Ortopedia e Traumatologia. 1. ed. Rio de		
90	Janeiro: Elsevier, 2018.	1	Α
	HERRING, J. A. Tachdjian's pediatric		
	orthopaedics. 6. ed. Philadelphia: Elsevier,		
91		12	С
	MOTTA FILHO, G. R.; BARROS FILHO, T. E. P.		
	Ortopedia e Traumatologia. 1. ed. Rio de		
92	Janeiro: Elsevier, 2018.	2.40	A



	,		
	AZAR, F. M.; BEATY, J. H. Campbell's		
	operative orthopaedics. 14. ed. Philadelphia:		
93	Elsevier, 2021.	56	Α
	AZAR, F. M.; BEATY, J. H. Campbell's		
	operative orthopaedics. 14. ed. Philadelphia:		
94	Elsevier, 2021.	44	Α
	AZAR, F. M.; BEATY, J. H. Campbell's		
	operative orthopaedics. 14. ed. Philadelphia:		
95	Elsevier, 2021.	59	D
	AZAR, F. M.; BEATY, J. H. Campbell's		
	operative orthopaedics. 14. ed. Philadelphia:		
96	Elsevier, 2021.	75	В
	HERRING, J. A. Tachdjian's pediatric		
	orthopaedics. 6. ed. Philadelphia: Elsevier,		
97	2022.	19	С
	HERRING, J. A. Tachdjian's pediatric		
	orthopaedics. 6. ed. Philadelphia: Elsevier,		
98	2022.	25	В
	AZAR, F. M.; BEATY, J. H. Campbell's		
	operative orthopaedics. 14. ed. Philadelphia:		
99	Elsevier, 2021.	77	С
	AZAR, F. M.; BEATY, J. H. Campbell's		
	operative orthopaedics. 14. ed. Philadelphia:		
100	Elsevier, 2021.	51	С